

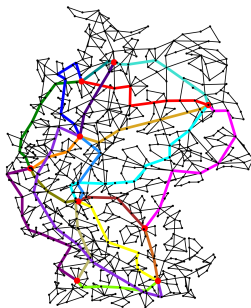
# Minimale knotendiskunkte Einbettung in Graphen

## Entwicklung eines Branch-and-Bound Solvers

Florian Hahn

Berliner Hochschule für Technik

11.Juli 2024



- 1 Minimum Cost Disjoint Path Problem
- 2 Branch and Bound Verfahren
- 3 Testergebnisse
- 4 Zusammenfassung
- 5 Quellen

# Minimum Cost Disjoint Path Problem

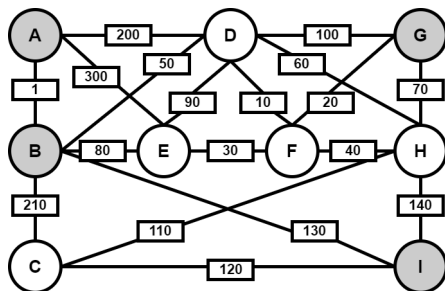
## Minimum Cost Disjoint Paths Problem (MCDPP) [1]

Gegeben ist ein Basis-Graph  $G=(V,E)$  mit der Kostenfunktion  $c : E \rightarrow \mathbb{Q}^+$  und ein Demand-Graph  $H=(T,D)$  mit  $T \subseteq V$ . Für jeden Demand  $d = \{s, t\}$  soll eine Einbettung in  $G$  als einfacher  $s - t$ -Weg  $P^d = (V^d, E^d)$  gefunden werden, sodass alle Wege gegenseitig knotendisjunkt sind und die gesamten Kosten aller gebrauchten Kanten minimal sind:

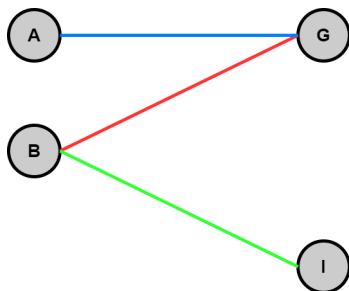
$$\min \sum_{d \in D} \sum_{e \in E^d} c(e)$$

sodass  $V^d \cap V^{d'} \subseteq d \cap d'$  mit  $d \neq d'$

# Minimum Cost Disjoint Path Problem



(a) Basisgraph  $G=(V,E)$



(b) Demand-Graph  $H=(T,D)$

Abbildung: Testinstanz 1 dargestellt mit Basis-Graph und Demand-Graph

# Minimum Cost Disjoint Path Problem

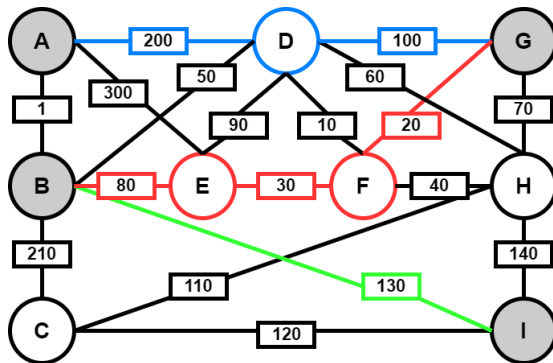
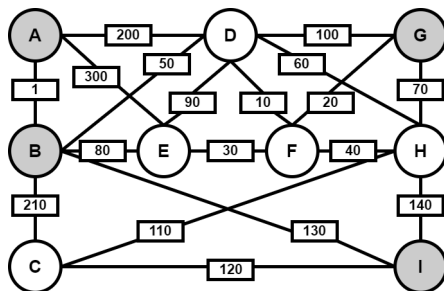


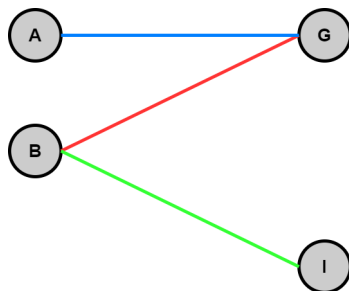
Abbildung: Eine optimale Lösung der Testinstanz 1 mit Gesamtkosten 560

- zulässige Lösung des MCDPP  $\rightarrow$  Knoten entweder Teil eines Weges oder nicht
- Knotenzustand  $ZK(i)$  eines Knotens  $i \in V \setminus T$ :
  - 1  $ZK(i) = 0 \Leftrightarrow$  Knoten  $i \in V \setminus T$  befindet sich auf keinem eingebetteten Weg eines Demands
  - 2  $ZK(i) = j \wedge j \in \{1, \dots, |D|\} \Leftrightarrow$  Knoten  $i \in V \setminus T$  befindet sich auf eingebettetem Weg des Demands  $j$
- zulässige Lösung = eingebettete Wege für jeden Demand = Teilgraph des Basis-Graphen
- angepasster Demand-Graph  $H'(T', D')$  speichert diesen Teilgraphen durch Einfügen von Zwischenterminals im Demand-Graphen  $H(T, D)$

# Zulässige Lösung MCDPP



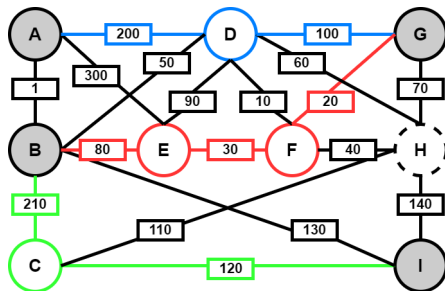
(a) Basisgraph  $G=(V,E)$



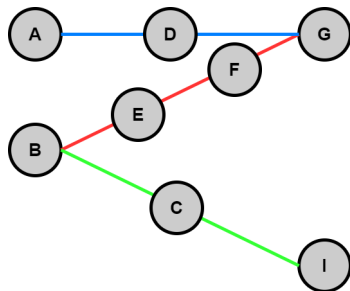
(b) Demand-Graph  $H=(T,D)$

Abbildung: Testinstanz 1 dargestellt mit Basis-Graph und Demand-Graph

# Zulässige Lösung MCDPP



(a) Knotenzustände und Einbettung



(b) Angepasster Demand-Graph  $H'(T', D')$

**Abbildung:** Testinstanz 1 mit zulässiger Lösung, Knotenzuständen und angepasstem Demand-Graph  $H'(T', D')$



- alle Knotenzustände besetzt  $\rightarrow$  zulässige oder unzulässige Lösung
- Knotenzustände im angepassten Demand-Graph gespeichert bis auf Knotenzustand 0
- Knotenzustand 0 = Löschen des Knotens im Basis-Graphen

- Suchen eine optimale Lösung einer Instanz des MCDPP in beschränkten Suchraum
- Idee: Sukzessiv Knotenzustände setzen mit angepassten Demand-Graphen
- Aufbau:
  - 1 Subinstanzen
  - 2 Obere und untere Schranken
  - 3 Verzweigungsstrategie
  - 4 Auswahlstrategie
  - 5 Optimalitätskriterien
  - 6 Beschränkungskriterien

# Branch and Bound Verfahren

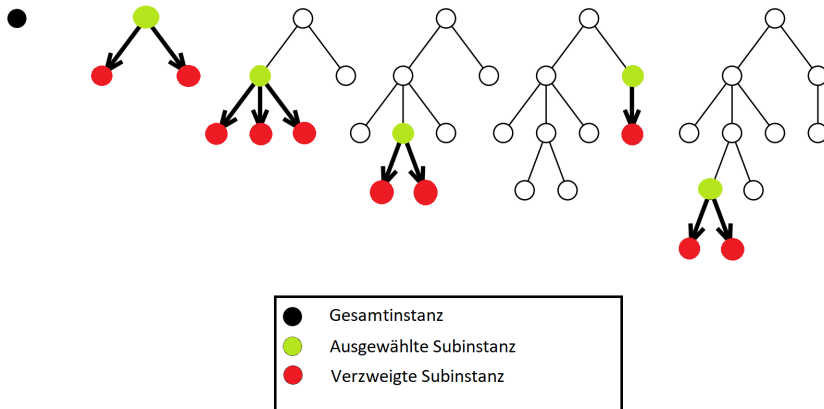
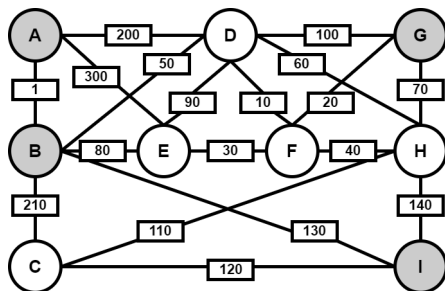
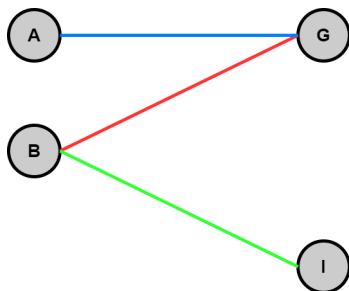


Abbildung: Schematische Darstellung des Branch and Bound Verfahren



(a) Basisgraph  $G=(V,E)$

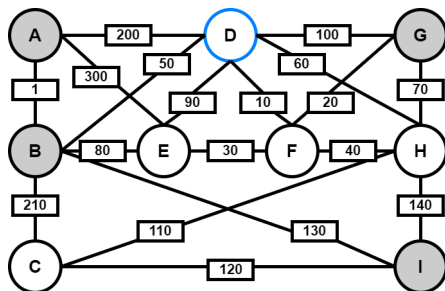


(b) Demand-Graph  $H=(T,D)$

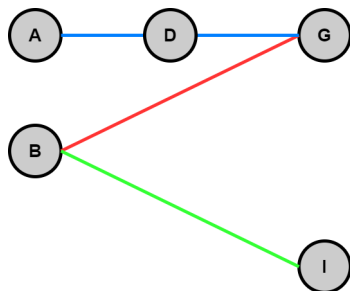
Abbildung: Testinstanz 1 dargestellt mit Basis-Graph und Demand-Graph

- Verzweigungsknoten  $VZK$  auswählen in Basis-Graph  $G = (V, E)$
- Eigenschaften  $VZK$ :
  - 1  $VZK \in V \setminus T$
  - 2 Knotenzustand  $VZK$  ist unbesetzt
- $|D| + 1$  mögliche Knotenzustände für  $VZK$
- $|D| + 1$  Subinstanzen, bei denen  $VZK$  als Zwischenterminal im Demand-Graphen eingefügt wird oder im Basis-Graphen gelöscht wird

# Verzweigungsstrategie



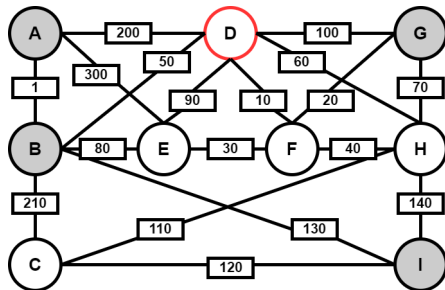
(a) Basisgraph  $G=(V,E)$  mit Knotenzustand



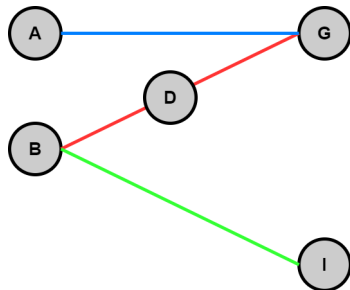
(b) Angepasster Demand-Graph  $H'=(T',D')$

**Abbildung:** Subinstanz 1 entstanden aus Verzweigung bei D und dargestellt mit Basis-Graph, Knotenzustand und angepassten Demand-Graph

# Verzweigungsstrategie



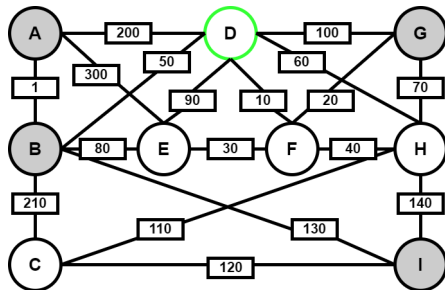
(a) Basisgraph  $G=(V,E)$  mit Knotenzustand



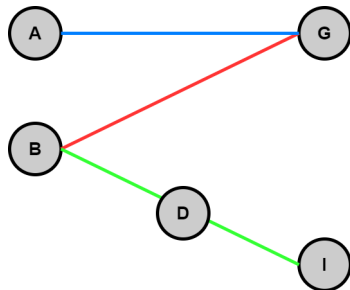
(b) Angepasster Demand-Graph  $H'=(T',D')$

**Abbildung:** Subinstanz 2 entstanden aus Verzweigung bei D und dargestellt mit Basis-Graph, Knotenzustand und angepassten Demand-Graph

# Verzweigungsstrategie



(a) Basisgraph  $G=(V,E)$  mit Knotenzustand

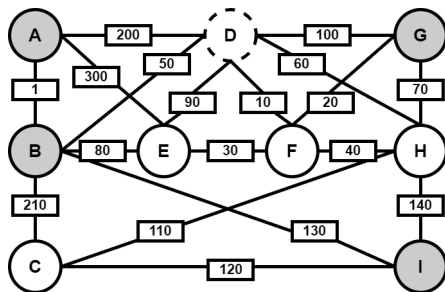


(b) Angepasster Demand-Graph  $H'=(T',D')$

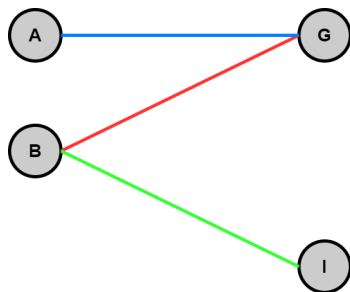
**Abbildung:** Subinstanz 3 entstanden aus Verzweigung bei D und dargestellt mit Basis-Graph, Knotenzustand und angepassten Demand-Graph



# Verzweigungsstrategie



(a) Basisgraph  $G=(V,E)$  mit Knotenzustand



(b) Angepasster Demand-Graph  $H'=(T',D')$

**Abbildung:** Subinstanz 4 entstanden aus Verzweigung bei D und dargestellt mit Basis-Graph, Knotenzustand und angepassten Demand-Graph

# Verzweigungsstrategie

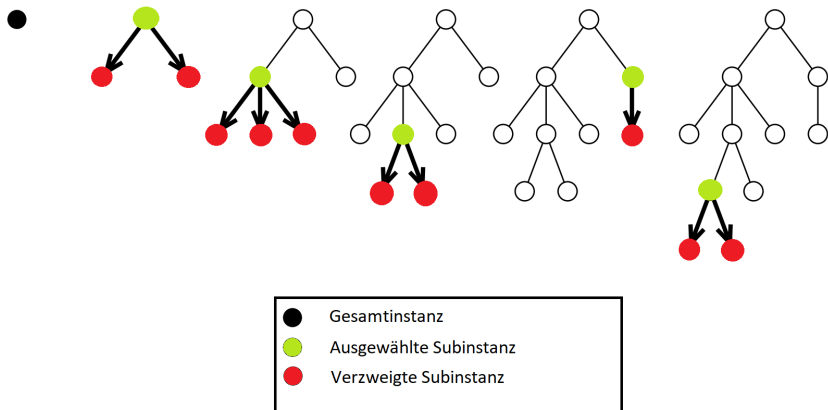


Abbildung: Schematische Darstellung des Branch and Bound Verfahren

- Knotenzustand gesetzt oder ungesetzt
- Knotenzustand = 0 entspricht Knoten löschen
- nicht alle Knotenzustände belegt mit zugehörigen  $H'(T', D') \rightarrow$  neues MCDPP mit Basis-Graph  $G'(V', E')$  und Demand-Graph  $H'(T', D')$ , welches Subinstanz genannt wird
- Subinstanz besitzt untere Schranke  $U_S \leq z(X_S^*)$
- Zustand der Subinstanz: UNZULÄSSIG, OPTIMAL, KANDIDAT

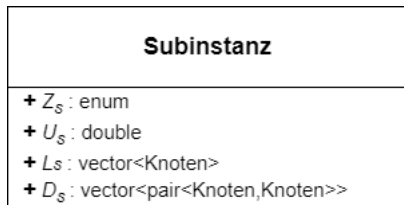


Abbildung: UML-Diagramm der Subinstanz

# Auswahlstrategie

Es wird immer die Subinstanz mit dem kleinsten Wert  $U_S$  zum Verzweigen ausgewählt.

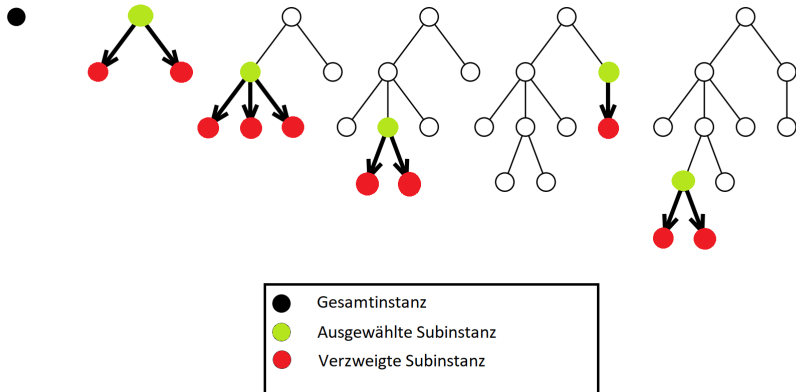


Abbildung: Schematische Darstellung des Branch and Bound Verfahrens

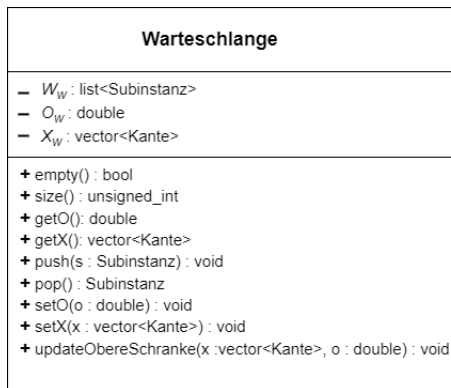


Abbildung: UML Diagramm der Menge der verzweigten Subinstanzen  $W$  als Warteschlange implementiert

- Lagrange-Vektor  $\lambda \in (\mathbb{R}^+)^{|V|}$  mit  $\mathbb{R}^+ = \{x | x \in \mathbb{R} \wedge x \geq 0\}$
- Angepasste Kosten  $c'$  des Basis-Graphen  $G = (V, E)$ :

$$c'(u, v, \lambda) = c(u, v) + \lambda(u) + \lambda(v) \quad \forall \{u, v\} \in E \quad (1)$$

- Untere Schranke des MCDPP mit  $G = (V, E)$  und  $H = (T, D)$ :

$$U(\lambda) = \sum_{d \in D} z(\text{kürzesterWeg}(G, d, \lambda)) - \sum_{u \in V} \omega(u) \lambda(u) \quad (2)$$

$$\omega(u) = \begin{cases} 2 & u \in V \setminus T \\ d_H(u) & u \in T \end{cases} \quad (3)$$

$$z(P(d)) = \sum_{e \in E^d} c'(e) \quad (4)$$

- Einbettung kürzester Wege kann zulässige Lösung sein

# Untere Schranke

- große untere Schranke finden mit Subgradientenverfahren
- $n_{sub}$  Iterationen erzeugt unterschiedliche  $\lambda$
- $U_S$  ist größte gefundene untere Schranke

$$\lambda^{(k+1)} = \lambda^{(k)} + \alpha^{(k)} \cdot \zeta^{(k)} \quad k = 1, \dots, n_{sub} \quad (5)$$

$$\zeta^{(k)} = \mu^{(k)} - \omega \quad (6)$$

$$\mu(u)^{(k)} = \sum_{d \in D} (u \in V^{d^{(k)}}) \quad \forall u \in V \quad (7)$$

$$\alpha^{(k)} = \theta^{(k)} \frac{\bar{L} - U(\lambda^{(k)})}{\|\zeta^{(k)}\|^2} \quad (8)$$

$$\theta^{(k)} = \begin{cases} 2 & k = 1 \\ \frac{\theta^{(k-1)}}{2} & \text{mod}(k, n_{iter\_half}) = 0 \wedge \max_{j \in [1, k]} U(\lambda^{(j)}) = \max_{j \in [1, k-n]} U(\lambda^{(j)}) \\ \theta^{(k-1)} & \text{sonst} \end{cases} \quad (9)$$



- Gesamtkosten jeder gefundenen zulässigen Lösung = obere Schranke der Instanz des MCDPP
- die gefundene zulässige Lösung mit kleinsten Gesamtkosten wird gespeichert
- am Anfang keine zulässige Lösung bekannt
- Summe aller Kantenkosten = obere Schranke  $O$  des MCDPP
- $O$  kann verkleinert werden

Das MCDPP besitzt kein Optimalitätskriterium.

## Komplementäre Schlupfbedingung

Entsprechen die kürzesten Wege aller eingebetteten Demands des angepassten Demand-Graphen einer Subinstanz  $S$  für eine untere Schranke  $U_S(\lambda)$  einer zulässigen Lösung der Instanz des MCDPP und ist das Skalarprodukt aus  $\lambda$  und  $\zeta$  gleich 0, dann entsprechen alle Kanten  $X$  der kürzesten Wege einer optimalen Lösung  $X_S^*$  der Subinstanz  $S$ .

# Beschränkungskriterien

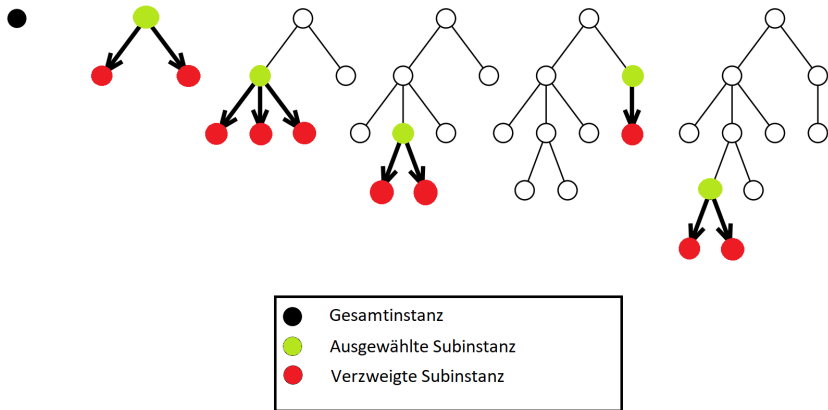


Abbildung: Schematische Darstellung des Branch and Bound Verfahren

- Zustand der Subinstanz ist OPTIMAL oder UNZULÄSSIG  $\rightarrow$  nicht weiter verzweigbar
- nur Subinstanzen von Zustand KANDIDAT weiter verzweigbar
- Suboptimalität  $U_S \geq O \rightarrow$  nicht weiter verzweigbar
- alle Knotenzustände gesetzt  $\rightarrow$  Zustand ist UNZULÄSSIG oder OPTIMAL
- existiert keine verzweigbare Subinstanz endet das Verfahren

- 7 Testinstanzen insgesamt
- 6 Testinstanzen mit Referenzlösung richtig berechnet unter 1 min
- Einstellbaren Parameter haben Einfluss auf Zeitaufwand der Solver
- Zeitaufwand ist instanzabhängig
- 7. Testinstanz sehr groß ohne Referenzlösung
- 7. Testinstanz unterschiedliche Lösungen bei Solvern mit Zeiten unter 2h (Abbruch 1 Tag)
- Numerische Fehler bei Berechnung unterer Schranke → Subinstanzen werden verworfen (Beschränungskriterien), die durch Verzweigung zur optimalen Lösung führen würden

- Branch and Bound Solver theoretisch hergeleitet und praktisch in C++ implementiert
- Testinstanzen mit Referenzlösung richtig berechnet in kurzer Zeit
- Numerische Fehler bei großen Testinstanzen → keine Optimalitätsgarantie
- Laufzeit hängt von Instanz und einstellbaren Parametern ab

- [1] Florian Hahn. *Schrankenverfahren für sichere Subnetze*. Berlin Hochschule für Technik, 2023.
- [2] James B. Orlin, Ravindra K. Ahuja, Thomas L. Magnanti. *Network Flows: Theory, Algorithms and Applications*. Prentice Hall, 1993.
- [3] Prof. Dr. Martin Oellrich. *Operations Research Vorlesungsskript*. Berliner Hochschule für Technik, 2023.

- Dijkstra-Algorithmus  $O(|V|pop + |E|push)$
- implementierte Liste für Dijkstra:  $O(|V| + |E||V|)$
- Fibonacci-Heap:

$$O(pop) = O(\log(V))$$

$$O(push) = O(1)$$

$$O(|V|pop + |E|push) = O(|V|\log(V) + |E|)$$

- theoretisch beste bekannte Datenstruktur für Warteschlange des Dijkstra-Algorithmus



## Modifizierte Kantenkosten

Sei  $G = (V, A)$  ein gerichteter Graph mit Kantenkosten  $c : A \rightarrow \mathbb{R}_0^+$  und  $s \in V$ . Es sei  $t \in V$  ein weiterer Knoten,  $dist_c(\cdot, t)$  die Distanzen aller anderen Knoten zu ihm und  $c' : A \rightarrow \mathbb{R}_0^+$  die modifizierte Kantenkostenfunktion

$$c'(u, v) = c(u, v) - dist_c(u, t) + dist_c(v, t)$$

Dann gilt für alle Knoten  $u \in V$ : Ein  $s$ - $u$ -Weg ist genau dann ein kürzester bzgl.  $c'$ , wenn er auch ein kürzester bzgl.  $c$  ist.

- Subgradientenverfahren  $\rightarrow$  Kantenkosten  $c$  ändern sich mit  $\lambda$
- modifizierte Kantenkosten:

$$c''(u, v) = c'(u, v) - \text{dist}_c(u, t) + \text{dist}_c(v, t)$$

$$c'(u, v) = c(u, v) + \lambda(u) + \lambda(v)$$

- kürzeste Wege bzgl  $c'$  bleiben gleich, jedoch bei Suche existiert Orientierung (siehe S. 211)
- Beweis folgt

$$\begin{aligned}c''(P(s, u)) &= \sum_{(v,w) \in P(s,u)} c''(v, w) \\&= \sum_{(v,w) \in P(s,u)} c'(v, w) - \text{dist}_c(v, t) + \text{dist}_c(w, t) \\&= \sum_{(v,w) \in P(s,u)} c'(v, w) + \sum_{(v,w) \in P(s,u)} \text{dist}_c(w, t) - \text{dist}_c(v, t) \\&= c'(P(s, u)) + (\text{dist}_c(u, t) - \text{dist}_c(s, t))\end{aligned}$$

→  $\text{argmin}_{P(s,u)} c''(P(s, u))$  und  $\text{argmin}_{P(s,u)} c'(P(s, u))$  liefern die selben kürzesten Wege aber mit anderen Längenwerten

- Branch and Bound Verfahren  $\rightarrow$  Löschen von Knoten aus Basis-Graphen möglich
- Löschen verringert Menge der Wege zwischen 2 Knoten  $u$  und  $v$
- Beweis bleibt gleich  $\rightarrow$  selbe kürzeste Wege
- erstelle am Anfang des B&B Verfahrens  $|T|$  Kürzeste-Wege-Bäume für jeden Terminalknoten  
 $\rightarrow$  jeder Dijkstra für einen Demand und  $\lambda$  im Subgradientenverfahren für jede Subinstanz kann mit  $c''$  rechnen  
 $\rightarrow$  Dijkstra findet schneller kürzesten Weg, weil alle Zwischenterminals in der Nähe des Terminals liegen

- Basis-Graph:  $G = (V, E)$
- Demand-Graph:  $H = (T, D)$
- Anzahl Iteration Subgradientenverfahren:  $n_{sub}$
- Update Schrittweite Subgradientenverfahren:  $n_{iter\_half}$
- Start-Lagrange-Vektor:  $\lambda_{Option}$
- Wahl des Verzweigungsknotens:  $VZK_{Option}$
- verringerte Anzahl Iteration Subgradientenverfahren:  $n'_{sub}$

- 1  $\lambda_{Option} = \lambda\_NULL \Leftrightarrow \lambda_{Start} = 0$
- 2  $\lambda_{Option} = \lambda\_MAX \Leftrightarrow \lambda \in P$  mit  
$$P = \{\lambda^{(k)} \wedge k \in [1, n_{sub}] \mid U(\lambda^{(k)}) = \max_{k \in [1, n_{sub}]} U(\lambda^{(k)})\}$$
- 3  $\lambda_{Option} = \lambda\_KONFLIKT \Leftrightarrow \lambda \in P'$  mit  
$$P' = \{\lambda^{(k)} \wedge k \in [1, n_{sub}] \mid MK^{(k)} = \min_{k \in [1, n_{sub}]} |MK^{(k)}|\}$$

- 1  $VZK_{Option} = \text{MAX\_FLUSS} \Leftrightarrow$  bei  $\lambda_{Start}$  Knoten der am häufigsten Teil eines Weges ist
- 2  $VZK_{Option} = \text{WEG} \Leftrightarrow$  bei  $\lambda_{Start}$  mittlerer Knoten des Weges, welcher die meisten Knoten besitzt
- 3  $VZK_{Option} = \text{KONFLIKTE} \Leftrightarrow$  bei  $\lambda_{Start}$  aus Menge an Konfliktknoten den Knoten wählen, der nach Verzweigung den größten Wert der kleinsten unteren Schranke der verzweigten Subinstanzen besitzt

Eine binäre Relation  $R$  zwischen zwei Mengen  $A, B$  ist eine (beliebige) Teilmenge ihres kartesischen Produkts:

$$R \subseteq A \times B \quad \text{d.h.} \quad R = \{(x, y) \in A \times B \mid r(x, y)\}$$

mit einem definierenden zweistelligen Prädikat  $r(x, y)$ .



## Optimale Substruktur kürzester Wege (S.192)

Sei  $G = (V, A)$  ein gerichteter Graph mit Kantenkosten  $c : A \rightarrow \mathbb{R}_0^+$  und  $P(s, t)$  ein kürzester s-t-Weg in  $G$  bzgl.  $c$ . Dann ist jeder Teilweg  $P(u, v) \subseteq P(s, t)$  ein kürzester u-v-Weg in  $G$  bzgl.  $c$ .